

ACETABULUM VE KALÇA GELİŞİMİ: BİLGİSAYARLI TOMOGRAFİ İLE AKSİYAL PLAN ANALİZİ

Fatma GüL AKSOY¹ Osman Gazi AKSOY² Firuzan ESEN³

¹ Arş.Gör. S.B Ankara Hast. Radyoloji Kliniği. ANKARA.

² Uzm. Dr. S.B Ankara Hast. 2. Ort. ve Travmatoloji Kliniği. ANKARA.

³ Uzm.Dr. S.B Ankara Hast. Radyoloji Kliniği. ANKARA.

Özet

Bilgisayarlı Tomografi ile aksiyal kesitlerde büyümeye ve gelişime değerlendirildi. Yaşları 6 ay ile 17 yaş arasında değişen çocuklarda normal kalça, aksiyal asetabular indeks, anterior ve posterior merkez kenar açıları (CEA) ve asetabular anteversiyon ölçülerek değerlendirildi. Asetabulum 13 yaşına kadar derinleşir ve daha sferik hal alır. Triradiat kartilaj kapandıktan sonra asetabulum şeklinde çok az değişiklik ortaya çıkar. Kapanma kızlarda biraz daha erken ortaya çıkmakla beraber 11-13 yaşları arasında oluşur. Femur başı posterior kemiksi kılıfı her zaman anteriordan daha büyüktür. Asetabular anteversiyon asetabulum gelişikçe çok az değişiklik gösterdi. Kalça ve asetabulumun aksiyal gelişiminde normal değerlerin belirlenmesi normal durumların üç boyutlu olarak daha iyi kavranmasını sağlar ve tedavinin planlanmasına yardımcı olur.

Anahtar Kelimeler: Asetabulum, Açı, Bilgisayarlı Tomografi, Kalça Gelişimi

Development of the Acetabulum and Hip: Computed Tomography Analysis of the Axial Plane

Abstract

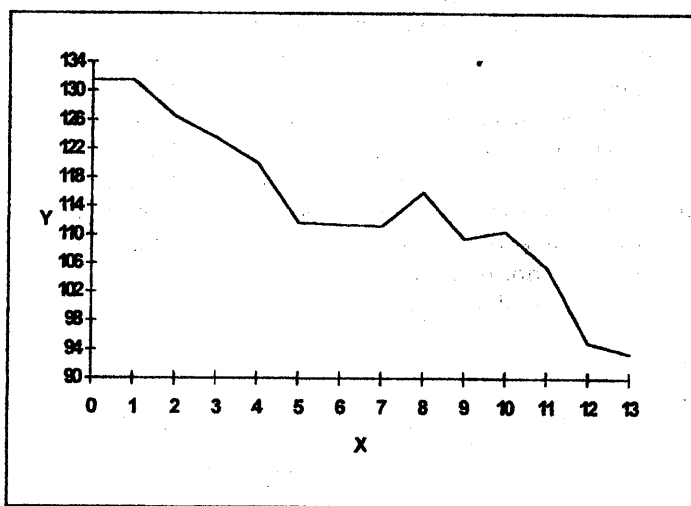
Acetabular growth and development in the axial plane was evaluated by computed tomography (CT) scan. Hundred normal hips of children were evaluated for axial acetabular index, anterior and posterior center-edge angles (CEA), and acetabular anteversion. The acetabulum deepens and becomes increasingly spherical with time until the age of 13 years. Little further change in acetabular shape occurs once the triradiate cartilage closes. Closure ensues between the ages of 11 and 13 years, occurring slightly earlier in girls. Posterior bony coverage of the femoral head is greater than anterior coverage at all times. Acetabular anteversion showed little change as the anteversion showed little change as the acetabulum developed. Establishing normal values for axial development of the hip and acetabulum allows better three-dimensional concept of the different pathologic conditions and helps in treatment planning.

Key Words: Acetabulum, Angle, Computed Tomography, Hip Development

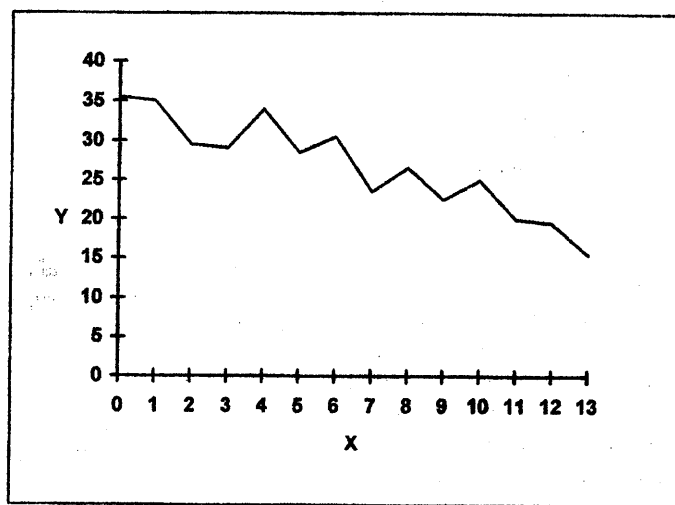
Çocuktaki kalça bozuklıklarının teşhis ve tedavisinde fizik muayenerin yanısıra radyografik değerlendirme de gereklidir. Direk radyogramların incelenmesinde birkaç açı tanımlanmıştır. Bunlar içinde en çok kullanılanlar asetabular indeks¹ ve merkez-kenar açıdır². Literatürde bu açıların normal değerlerine ait tablolar mevcuttur^{2,3}. Standart radyogramlar üzerinde asetabular anteversiyonun hesaplanmasına dair yöntemler de tanımlanmıştır³. Bilgisayarlı Tomografinin gelişimi çocuklarda kalçanın aksiyal kesitlerde analizini mümkün kılmıştır. Çeşitli araştırmacılar pediatrik

kalça üzerine BT ile değişik araştırmalar yapmışlardır^{4,5,6,7,8,9}. İncelenen patolojiye göre bu yaynlarda açılar tanımlanmıştır fakat literatürde normal aksiyal asetabular gelişimi inceleyen çok az veri mevcuttur. Türk çocuklar üzerine yapılmış bu konuya ilişkin bir yayına ise rastlamadık.

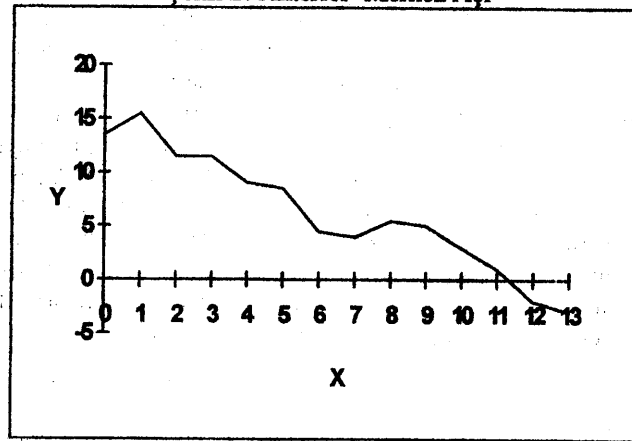
Çalışmamızı bu açıklığa yönelik olarak planladık. Özellikle BT ölçümleri kullanılarak asetabulumun anterior ve posterior duvarlarının aksiyal maturasyonunu tanımlamayı amaçladık.



X= Yaş (Yıl) Y= Ortalama Açı (Derece)
Şekil 1: Aksiyal asetabular indeks gelişmeye paralel dâralmaktadır.



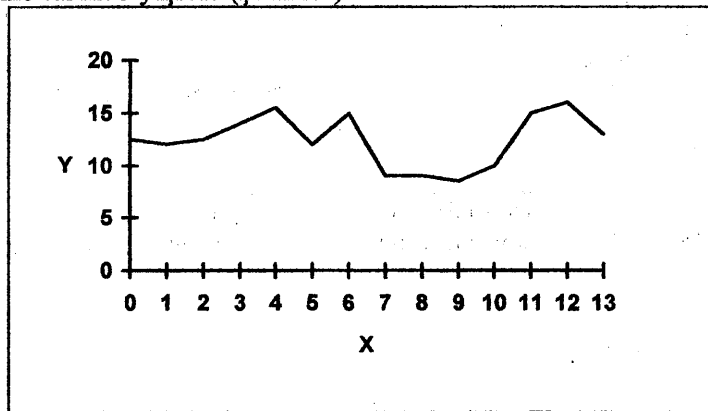
X= Yaş (Yıl) Y= Ortalama Açı (Derece)
Şekil 2: Anterior Merkez Açı



X= Yaş (Yıl) Y= Ortalama Açı (Derece)
Şekil 3: Posterior Merkez Açı

Asetabular gelişimi özetleyerek gösterebilmek için farklı yaşlarda 8 çocuğa ait kesitler gözden geçirildiğinde; 6 aylık çocukta (Resim 5A) asetabulumun anterior ve posterior kısımları femur başının ossifik nukleusu için çok az kemik yapı göstermektedir. 18 aylık çocukta (Resim 5B) posterior duvar biraz kemikleşme gösterse de asetabulum düz formunu korumaktadır. 3 yaş döneminde (Resim 5 C) asetabulum kubbeleşmesi oluşmuştur. Posterior duvarda anterior duvara göre daha fazla kemikleşme vardır. 5 yaşında (Şekil 5D)

çocuğun asetabulumu açıkca giderek derinleşmiştir. Posterior duvar kılıfı anterior duvarını geçmiştir 8 yaşındaki çocukta (Resim 5 F) asetabular derinleşme devam etmiştir. Triradiat kartilaj genişçe açıktır. 11 yaşında triradiat kartilaj kapanmaya başlamıştır. Bu yaşta femur başının sadece yarısı arkadan kapalıdır. 13 yaşındaki çocukta (Resim 5G) özellikle kızlarda triradiat kartilaj kapanmıştır ve asetabulum sferik bir yapıya kavuşmuştur.



X= Yaş (Yıl) Y= Ortalama Açı (Derece)

Şekil 4: Asetabular Anteversiyon

Tartışma

İskelet sisteminin değerlendirilmesinde normal olanın nerede bitip patolojinin nerede başladığının bilinmesi önemlidir. Çocukta kalça bozuklıklarının değerlendirilmesinde direk grafiler önemini yitirmemekle beraber BT incelemesi teşhis açısından önem kazanan bir modalitedir. Bu konudaki uygulamalar kalçanın gelişimsel displazisinde redüksiyonun analizinden^{3,12,13,14,15,16,17,18} konjenital ve nöromusküler kalça bozuklarındaki asetabulum ölçümlerine kadar uzanmaktadır^{4,7}.

Literatürde asetabulumun normal aksiyal gelişimiyle ilgili az bulgu olmasına rağmen BT'deki ölçümle bir karşılaştırma yapmak mümkündür¹⁹. Browning ve arkadaşları¹⁰ gelişme patolojisi olan çocukların bizim kullandığımız metodlara benzer yöntemlerle asetabular anteversiyon açısını ölçmüştürler ve normal kalça için buldukları sonuçlar (7° - 16°) bizim bulduğumuzla uyumludur. Benzer şekilde Ogata¹¹ ve arkadaşlarının normal kalçadaki anteversiyon bulgularını incelediğimizde 7° - 24° aralıktaki olduğunu görüyoruz. Buckley ve arkadaşları 14 normal kalçada astabular indeks üzerine çalışmışlardır⁴. Bizimle aynı açayı kullanarak

aksiyal asetabulum indeksinin $101.6^{\circ} \pm 10.1$ arasında olduğunu ortala 9-10 yaş arası çocukların oluşan bir grupta göstermişlerdir. Bu rakamlar bizim bulgularımızla çelişmemektedir. Bu çalışmada anterior ve posterior CEA ölçümlerinin literatürde ilk kez 1993 yılında Weiner²⁰ ve arkadaşları tarafından kullanıldığını ve sonuçlarımızla uyumlu olduğunu gördük.

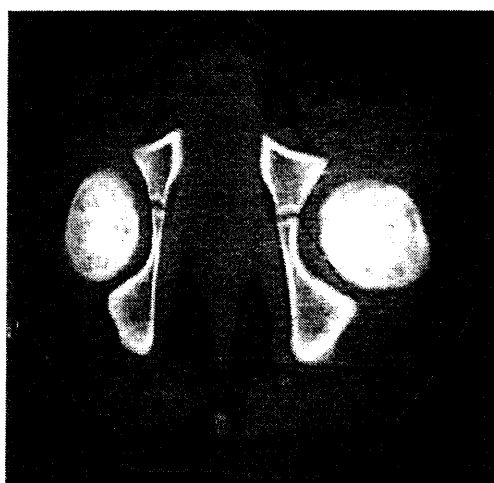
Sonuç

Asetabulum ve kalçanın gelişimi bu çalışmada yapılan ölçümlere göre kesin tanımlanan bir ilerleme göstermektedir. Aksiyal asetabular indeks progresif derinleşmenin ve bunun sonucu ortaya çıkan sferik asetabulumun gelişiminin bir göstergesidir. Bu gelişim büyütme ile doğru orantılı bir uyum içindedir. Anterior asetabular duvar posterior duvara göre daha dar bir aralıktaki gelişim göstermektedir. Hiçbir dönemde femur başının anteriorda % 50 den fazla kapatılmadığı 13 yaşından büyük çocukların anterior CEA değerlerinin pozitif olusuya gösterilmiştir.

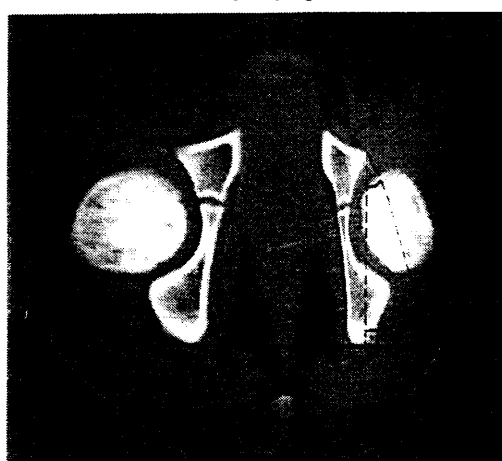
Posteriorda 6 aydan itibaren kemik bir yapının oluşu görülmektedir. Posterior duvarın kemikleşmesi büyütme ile doğuya yakın bir orantı içinde olmaktadır. Femur başının yaklaşık % 50'si 11-12 yaşında kaplanmaktadır. Arkadaki kemik

yapı gelişmekte olan kalçanın stabilizasyonu için önemli bir faktördür.

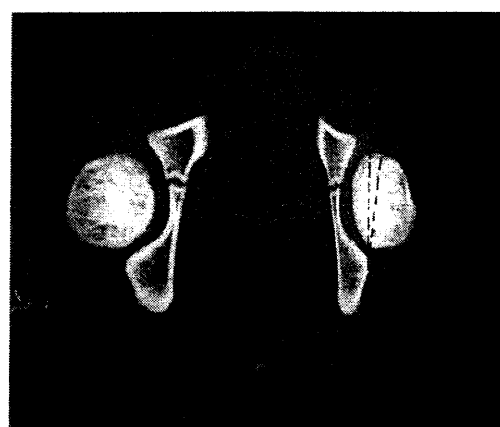
Bu çalışmada ölçülen asetabular anteversiyon sagittal kesitteki anterior ve posterior duvar arasındaki ilişki ile korelasyon göstermektedir. Anteversiyon için bulunan tüm değerler pozitifti. Anterior ve posterior duvarın kemikleşme oranındaki değişimler azdı, bu nedenle asetabular anteversiyonda gelişimle beraber minör varyasyon olduğu sonucuna vardık. Ulaştığımız bir başka sonuç da triradiat kartilajın kapanmasından sonra asetabulumda hiçbir şekil değişikliğinin olmamasıydı. Kapanma 11-13 yaş arasında ve kızlarda daha erken ortaya çıkmaktadır.



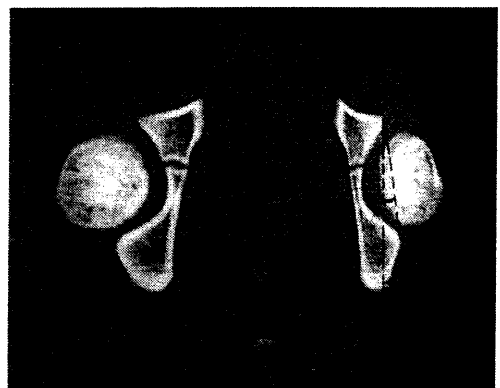
Resim 1: Aksiyal asetabular indeks: Apeks triradiat kartilajda olmak üzere anterius ve posterius duvar dudaklarına doğru açılır. Açının azalması asetabulumdaki derinleşmeyi gösterir.



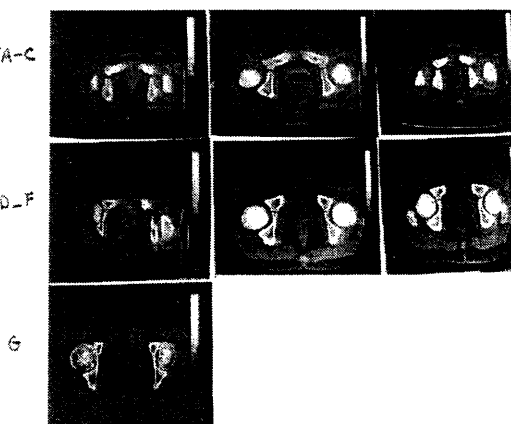
Resim 2: Anterior CEA'nın Apeksi asetabulum anterior dudağındadır. Açı apeksten genişleyen biri taban çizgisi dik, diğeri femur başı merkezinden geçen 2 çizgi tarafından oluşturulur. Kemik yapı anteriorda arttıkça açı küçülür.



Resim 3: Posterior CEA apaksi asetabulum posterior dudağındadır. Açı apeksten taban çizgisiye dik çıkan çizgi ve femur başı merkezinden geçen bir diğer çizgi tarafından oluşturulur. Kemik asetabulum posteriorda gelişikçe bu açı azalır.



Resim 4: Asetabular anteversiyon sagital düzlemede anterior ve posterior duvar arasındaki ilişkiyi tanımalar. Apeks anterior asetabular duvarın anterior dudağındadır. Bir çizgi taban çizgisine dik olarak diğeri ise posterior dudaktan geçer.



Resim 5: Aksiyal düzlemde asetabulum ve kalça gelişimi A- 6 Aylık B- 18 Aylık C- 3 Yaş D-5 Yaş E- 8 Yaş F- 11 Yaş G- 13 Yaş

Kaynaklar

1. Laurenson RD. The acetabular index: a critical review. *J Bone Joint Surg.(Br)* 1959;41:702-10.
2. Tonnis D. Normal values of the hip joint for the evaluation of x-rays in children and adults. *Clin Orthop.* 1976;119:39-47.
3. Hensinger RN. Standards in pediatric orthopaedics. New York. Raven Press. 1986:62-71.
4. Buckley SL, Sponseller PD; Magid D. The acetabulum in congenital neuromuscular hip instability. *J Pediatr Orthop.* 1991;11:498-51.
5. Edelson JG, Hirsh M, Weinberg H, Attar D, Barneir E. Congenital dislocation of the hip and computerized axial tomography. *J Bone Joint Surg.(Br)* 1984; 66:472-8.
6. Lasda NA, Levinshohn EM, Yuan HA, Bunnel WP. Computerized tomography in disorders of the hip. *J Bone Joint Surg.* 1978;60-1.
7. Magid D, Fishman EK, Sponseller PD, Griffin PP. 2 D and 3 D computed tomography of the pediatric hip. *Radiographics* 1988; 8: 901-33.
8. Peterson HA, Klassen RA, Mccloud RA, Hoffman AD. The use of computerized tomography in dislocation of the hip and femoral neck anteversion in children. *J Bone Joint Surg. (Br)* 1981;63:198-208.
9. Visser JD, Jonkes A, Hillen B. Hip joint measurements with CT. *J Pediatr Orthop.* 1982; 2: 143-6.
10. Browning WH, Rosenkrantz H, Tarquinio T. Computed tomography in congenital hip dislocation. *J Bone Joint Surg.* 1982;64:27-31.
11. Ogata S, Moriya H, Tsuchiya K, Akita T, Kamegaya M, Someya M. Acetabular cover in congenital dislocation of the hip. *J Bone Joint Surg.(Br)* 1990;72:190-6.
12. Brougham DI, Broughton NS, Cole WG, Menelaus MB. The predictability of acetabular development after closed reduction for congenital dislocation of the hip. *J Bone Joint Surg(Br)* 1988;70:733-6.
13. Chrispin NH, Roberts GL. A method for calculating acetabular anteversion in children. *Pediatr Radiol.* 1978;7:155-8.
14. Hernandez RJ. Concentric reduction of the dislocated hip. *Radiology* 1984;150:266-8.
15. McKibbin B. Anatomical factors in the stability of the hip joint in the newborn. *J Bone Joint Surg.(Br)* 1970;52:148-59.
16. Morin C, HT, McEwen GD, The infant hip : real time US assessment of acetabular development. *Radiology* 1985;157:673-7.
17. Ralis Z, McKibbin B. Changes in shape of the hip joint during its development and their relationship to its stability. *J Bone Joint Surg.(Br)* 1973;55:780-5.
18. Strayer LM, Embryology of the human hip joint. *Clin Orthop.* 1971;74:221-40:
19. Hubbard DD, Staheli LT. The direct radiographic measurement of femoral torsion using axial tomography. *Clin Orthop.* 1972; 86:16-20.
20. Weiner LS, Kelley MA, Ulin RI, Wallch D. Development of the hip. *J Pediatr Orthop.* 1993;13:421-25.

Yazışma Adresi:

Dr. Fatma GüL AKSOY
Gül Sokak 5/4

06340 Cebeci /ANKARA